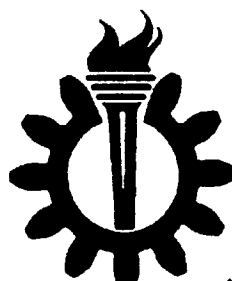
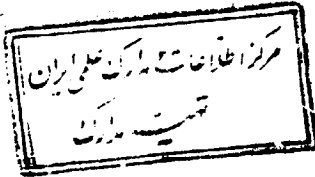


بِسْمِ اللَّهِ الرَّحْمَنِ الرَّحِيمِ

٢٢١١٣



دانشگاه علم و صنعت ایران

دانشکده مهندسی مکانیک

استحکام باقیمانده صفحات کامپوزیتی تحت بار ضربه ای با سرعت کم

۱۵۶۳

مسعود مظفری

پایان نامه برای دریافت درجه کارشناسی ارشد در رشته مهندسی
مکانیک

استاد راهنما: دکتر محمود مهرداد شکریه

تابستان ۱۳۷۹

۳۲۱۱۳

به یاد پدرم

تقدیم به مادرم ، برادرانم .

چکیده :

مواد کامپوزیت در برابر مزیت هایشان نظر سبکی و استحکام بالا مشکلاتی نیز دارند که یکی از آنها حساسیت این مواد به ضربه است؛ بنحوی که بر اثر ضربه، در این ساختارها تخریب ایجاد می شود. اولین تأثیرزود هنگام این تخریب، کاهش استحکام عمومی ساختار (خصوصاً استحکام فشاری) می باشد. از این رو بررسی این تأثیرات از اهمیت زیادی برخوردار است. درهین راستا این تحقیق به دو بخش ۱- تحلیلهای تئوریک ۲- آزمایش‌های تجربی، تقسیم می شود. دربخش تئوریک با استفاده از روش ریتز^۱ که روشی نیمه تحلیلی است و همچنین با استفاده از تئوری هرتز^۲، نیروی ضربه و زمان اعمال ضربه دریک صفحه مربعی شکل، محاسبه شده است. سپس با استفاده از تحلیل اجزاء محدود مقادیر تنش و سطح تخریب در ناحیه ضربه خورده، برای هر لایه محاسبه گردیده است. تحلیل با دو روش متفاوت یعنی: گذرا و استاتیکی انجام گرفته است. نتایج بدست آمده نشانگر مشابه تقریبی نتایج تنش این دو تحلیل با یکدیگر می باشد. عبارت دیگر در ضربه های کم سرعت نیروی اینرسی صفحه در برابر نیروی ضربه اعمال شده چندان قابل توجه نیست.

در ادامه، اثر تخریب بر کاهش استحکام و بعارتی ایجاد تمرکز تنش در نقطه ضربه خورده بررسی شده است. بدین منظور مقادیر مدول در نقطه ضربه خورده براساس فرضیاتی، کاهش داده شده و سپس مدلی ازنونه تحت بار فشاری قرار گرفته و مقادیر تمرکز تنش در نقطه تخریب بررسی گردیده است.

در ادامه این تحقیق، جهت بررسی جامع تر مودهای تخریب و اثرات اندازه نمونه ها بر مقدار تخریب و بدنیال آن تأثیر سطح تخریب بر کاهش استحکام فشاری، یک سری آزمایش‌های ضربه و بدنیال آن آزمایش‌های استحکام فشاری انجام گرفته است. نتایج آزمایش‌های ضربه، نشانگر تأثیر مهم ابعاد نمونه ها بر مقدار سطح تخریب می باشد، بطوریکه با این نتایج میتوان ابعاد قطعه آزمایشی را که شرایط واقعی صفحه را شبیه سازی کند، بدست آورد. در این صورت نتایج استحکام باقیمانده در این نمونه ها نیز به شرایط واقعی نزدیک خواهد بود. در آزمایش‌های فشاری نیز اثر تخریب و مودهای مؤثر در کاهش استحکام بررسی شده است، بطوریکه در بعضی نمونه ها که تخریب چندان مشخصی هم ندارند، کاهش استحکامی تا حدود ۳۳ درصد (انرژی ضربه ۱۷ زول) و در تخریبهای شدیدتر که با چشم هم دیده می شوند (انرژی ضربه ۳۰ زول) این کاهش استحکام تا ۵۲ درصد هم می رسد. مجموعاً با آنچه که از سطح تخریب در این نمونه ها مشاهده شد، می توان گفت که در شرایطی واقعی، هیچ جای نگرانی نسبت به ضربه هایی تا انرژی ۲۰ زول وجود ندارد .

تقدیر و تشکر :

لازم می دانم که از استاد گری جناب آقای دکتر محمود شکریه به جهت راهنمایی و کمکهای یدربیغ شان در انجام این پروژه کمال تشکر را بنمایم.

بدین وسیله مراتب تشکر و امتنان خود را از مجتمع صنعت هواصی و مواد ترکیبی فخر، که پشتیبانی مالی این تحقیق را بعهد داشته است، اعلام می دارم .

همچنین از کارکنان این مجتمع ، بویژه در بخش‌های سازه؛ آقای مهندس مقصودی . مهندس ذیبح پور . بخش فلزی؛ مهندس بادله، فهیم پور . بخش غیر فلزی؛ مهندس آقامرادی بجهت همکاریشان ، تشکر می نمایم .

فهرست مطالب

صفحه

عنوان

فصل اول : مقدمه

۱	مقدمه
---	-------

فصل دوم : بیان مسئله

۴	۲-۱- مقدمه
۵	۲-۲- دسته بندی کلی انواع صفحات
۵	۲-۲-۱- صفحات سفت
۶	۲-۲-۲- صفحات غشایی
۶	۲-۲-۳- صفحات انعطاف پذیر
۷	۲-۲-۴- صفحات ضخیم
۷	۲-۳- معادلات دیفرانسیل حاکم بر صفحات در دستگاه مختصات کارتزین
۸	۲-۳-۱- معادلات تعادل در یک المان صفحه ای
۸	۲-۳-۲- روابط کرنش - انحناء
۹	۲-۳-۳- روابط کرنش بر حسب گشتاور در ساختارهای کامپوزیت
۱۱	۲-۴- روشیابی ممکن برای حل معادله دیفرانسیل حاکم بر صفحات مستطیلی
۱۲	۲-۴-۱- روشیابی تحلیل برای حل معادلات دیفرانسیل در صفحات مستطیلی
۱۲	۲-۴-۱-۱- حل ناویر
۱۲	۲-۴-۱-۲- حل لوی
۱۳	۲-۴-۲- روشیابی نیمه تحلیلی برای حل معادلات دیفرانسیل حاکم بر صفحات
۱۳	۲-۴-۲-۱- روش انرژی کرنشی

فصل سوم : محاسبه نیروی ضربه

۱۶	۳-۱- مقدمه
۱۶	۳-۲- تئوری هرتز

فهرست مطالب

عنوان	
صفحه	
۳-۱- رابطه تعادل انرژی برای محاسبه نیروی ضربه ۱۹	
۳-۲- نمودار نیروی ضربه بر حسب زمان ۱۹	
۳-۳- محاسبه سطح ضربه خورده ۲۰	
۳-۴- محاسبه زمان ضربه ۲۰	
۳-۵- محاسبه فرکانسیای طبیعی ۲۱	
۳-۶- فلوچارت برنامه کامپیووتری جهت محاسبه نیروی ضربه ۲۲	

فصل چهارم : مکانیزمهای تخریب در صفحات کامپوزیتی

۴-۱- مقدمه ۲۳	
۴-۲- مروری بر شایعترین مکانیزمهای تخریب در صفحات کامپوزیتی ۲۳	
۴-۳- اثرات ترتیب لایه چینی بر مقدار سطح تخریب ۲۷	
۴-۳-۱- لایه چینی (0_{15}°) ۲۹	
۴-۳-۲- لایه چینی ($0_{5}^{\circ} / 90_{5}^{\circ} / 0_{5}^{\circ}$) ۳۰	
۴-۳-۳- لایه چینی ($0^{\circ} / \pm 45^{\circ} / 90^{\circ}$) ۳۲	
۴-۴- مروری بر تحلیلهای اجزاء محدود در ضربه ۳۳	
۴-۵- بررسی اثرات تمرکز تنش در کاهش استحکام صفحات کامپوزیت ۳۳	
۴-۵-۱- اثرات هندسه سوراخ بر مقدار تمرکز تنش ۳۴	
۴-۵-۲- اثرات تورق لبه های سوراخ بر مقدار تمرکز تنش ۳۴	
۴-۵-۳- اثر نسبت پهنای نمونه به قطر سوراخ ۳۵	
۴-۵-۴- اثر نسبت قطر سوراخ به ضخامت نمونه ۳۶	
۴-۶- مقررات صنایع هوایی برای تحمل ضربه در ساختارهای کامپوزیت ۳۷	

فهرست مطالب

صفحه

عنوان

فصل پنجم : تحلیل اجزاء محدود صفحات تحت ضربه

۱-۵-۱- مقدمه	۳۹
۱-۵-۲- نوع تحلیل بکار رفته	۳۹
۱-۵-۳- تحلیل مستقیم گذرا	۳۹
۱-۵-۴- محاسبه نشایی برشی بین صفحه ای	۴۰
۱-۵-۵- نوع بارگذاری	۴۰
۱-۵-۶- تحلیل استاتیکی صفحه	۴۱
۱-۵-۷- نوع بارگذاری در تحلیل استاتیکی	۴۱
۱-۵-۸- روش تحلیل گذرای مستقیم	۴۲
۱-۵-۹- نتایج انجام تحلیل گذرا و استاتیکی بر یک صفحه مربعی شکل	۴۳
۱-۵-۱۰- مشخصات فیزیکی و مکانیکی مدل	۴۳
۱-۵-۱۱- خواص مکانیکی و ابعاد صفحه تحلیل شده	۴۳
۱-۵-۱۲- رابطه خیز - زمان	۴۴
۱-۵-۱۳- مقادیر خروجی برنامه کامپیوتری	۴۴
۱-۵-۱۴- ورودیهای مورد نیاز برای تحلیل استاتیکی	۴۵
۱-۵-۱۵- خروجیهای تحلیل استاتیکی و گذرا	۴۵
۱-۵-۱۶- مقایسه نتایج تنش در تحلیل استاتیکی و گذرا	۴۵
۱-۵-۱۷- بررسی شکل تورق در تحلیل گذرا و استاتیکی صفحه مربعی شکل	۴۸
۱-۵-۱۸- سطح تخریب در تحلیل گذرا	۴۸
۱-۵-۱۹- سطح تخریب در تحلیل استاتیکی	۴۹
۱-۵-۲۰- تحلیل اثر تخریب تورق بر کاهش استحکام فشاری صفحات کامپوزیتی	۵۲
۱-۵-۲۱- تحلیل نتایج	۵۶

فهرست مطالب

صفحه

عنوان

فصل ششم : آزمایشات ضربه بر یک ساختار شبه ایزوتروپیک و ارزیابی مدل

۱-۶-۱- مقدمه.....	۵۸
۲-۶-۲- مشخصات نمونه های آزمایشی	۵۸
۳-۶-۳- مشخصات دستگاه ضربه	۵۹
۴-۶-۴- شرایط مرزی صفحه	۵۹
۵-۶-۵- نتایج آزمایش ضربه.....	۶۰
۱-۶-۵-۱- بررسی سطح تخریب	۶۰
۱-۱-۵-۶- نتایج سطح تخریب در نمونه های سری A	۶۰
۱-۲-۶- نتایج سطح تخریب در نمونه های سری B	۶۱
۱-۳-۶- نتایج سطح تخریب در نمونه های سری C	۶۱
۲-۶-۵-۲- بررسی مود تخریب در سطح تخریبهاي گوناگون	۶۱
۱-۲-۵-۲-۱- تخریبهايی که در يك لايه اتفاق می افتد.....	۶۱
۱-۲-۵-۲-۲- تخریبهايی که در يرين لايه ها اتفاق می افتد	۶۲
۶-۶- تحليل نتایج آزمایش ضربه	۶۳
۱-۶-۷- تأثیر ابعاد نمونه ها بر مقدار سطح تخریب آنها	۶۳
۲-۶-۸- شکل و مود تخریب در نمونه ها.....	۶۵
۷-۶-۹- اثر ضربه در نمونه هایی با هندسه پیچیده	۶۸
۷-۶-۱-۱- بررسی سطح تخریب در يك نمونه واقعی.....	۶۹
۷-۶-۱-۲- آزمایشهای استاتیکی جهت تعیین استحکام باقیمانده فشاری	۷۱
۷-۶-۱-۳- اثر تخریب در استحکام باقیمانده صفحات	۷۱
۷-۶-۱-۴- الگوهای تخریب طی بارگذاری فشاری	۷۲
۷-۶-۱-۵- روند انجام آزمایشهای فشاری	۷۲
۷-۶-۱-۶- نتایج آزمایشهای سری A	۷۴

فهرست مطالب

عنوان	صفحة
۶-۸-۵- نتایج آزمایش‌های سری B	۷۷
۶-۸-۶- نتایج آزمایش‌های سری C	۷۹
۶-۸-۷- نتایج آزمایش‌های تکمیلی	۸۱
۶-۸-۸- بحث درباره نتایج بدست آمده	۸۲
۶-۹- ارزیابی مدل با مقایسه نتایج اجزاء محدود و آزمایشات	۸۵
۶-۹-۱- مشخصات فیزیکی و مکانیکی مدل	۸۵
۶-۹-۲- محاسبه نیروی ضربه	۸۵
۶-۹-۳- ورودی‌های مورد نیاز برای تحلیل استاتیکی	۸۶
۶-۹-۴- معیار محاسبه سطح تورق	۸۶
۶-۹-۵- نتایج تحلیل	۸۶
۱۰- پیش‌بینی استحکام باقیمانده و شروع تخریب در نمونه مدل سازی شده	۸۸

فصل هفتم : پیشنهادات

۷-۱- مقدمه	۹۱
۷-۲- پیشنهاداتی برای ادامه کار در تحقیقات بعدی	۹۲
ضمیمه	۹۳
مراجع	۹۷

فهرست تصاویر

صفحه	عنوان	شکل
فصل اول :		
۳	روند کاهش استحکام فشاری در انرژیهای ضربه متفاوت	۱-۱
فصل دوم :		
۵	گشتاورها و نیروهای برشی اعمال شده به المان صفحه سفت	۲-۱
۶	گشتاورها و نیروهای اعمال شده به یک المان غشایی	۲-۲
۶	گشتاورها و نیروهای اعمال شده به یک المان صفحه انعطاف پذیر	۲-۳
۷	نیروهای اعمال شده به یک المان صفحه ضخیم	۲-۴
۸	نمایش المانی از صفحه سفت تحت بار جانبی	۲-۵
۹	نمایش جابجایهای صفحه ای و خیز در یک صفحه سفت	۲-۶
فصل سوم :		
۱۶	خیز موضعی و خیز عمومی در یک صفحه انعطاف پذیر	۳-۱
۱۹	نمودار نیروی ضربه بر حسب زمان در ای-گلاس / اپوکسی	۳-۲
۲۲	فلوچارت برنامه کامپیوتری جهت محاسبه نیروی ضربه	۳-۳
فصل چهارم :		
۲۴	الگوی تورق در ساختار $[90_5 / 0_5 / 90_5]$	۴-۱
۲۴	الگوی تورق در ساختار $[90_3 / 0_3 / 90_3 / 0_3 / 90_3]$	۴-۲
۲۵	مکانیزم ایجاد تورق در یک صفحه $(0/90)$	۴-۳.a
۲۵	مکانیزم ایجاد تورق در یک صفحه $(0/90)$	۴-۳.b
۲۶	الگوی تورق در یک صفحه $(0/90)$	۴-۴
۲۸	اثر لایه های (± 45) بر افزایش استحکام باقیمانده	۴-۵
۲۸	استحکام باقیمانده در درصدهای مختلفی از لایه های (± 45)	۴-۶

فهرست تصاویر

صفحه	عنوان	شکل
۲۹	اثر افزایش درصد لایه های $(45 \pm)$ بر انرژی حد آستانه تحریب	۴ - ۷
۳۰	نمودار تنش - کرنش در ساختار $[0^{\circ}]$ تحت ضربه با پرتابه نوک کروی	۴ - ۸
۳۰	نمودار تنش - کرنش در ساختار $[0^{\circ}]$ تحت ضربه با پرتابه سرتخت	۴ - ۹
۳۱	نمودارتنش - کرنش در ساختار $[0^{\circ} / 90^{\circ} / 0^{\circ}]$ تحت ضربه پرتابه کروی	۴ - ۱۰
۳۱	نمودارتنش - کرنش در ساختار $[0^{\circ} / 90^{\circ} / 0^{\circ}]$ تحت ضربه پرتابه تخت	۴ - ۱۱
۳۲	نمودارتنش - کرنش در ساختار $[0^{\circ} / \pm 45^{\circ} / 0^{\circ}]$ تحت ضربه پرتابه تخت	۴ - ۱۲
۳۲	نمودارتنش - کرنش در ساختار $[0^{\circ} / \pm 45^{\circ} / 0^{\circ}]$ تحت ضربه پرتابه کروی	۴ - ۱۳
۳۶	نمودار $\frac{D}{W}$ نسبت به ضربه تمرکز تنش برای چند تحلیل مختلف	۴ - ۱۴
۳۷	نمودار $\frac{D}{t}$ نسبت به استحکام صفحه	۴ - ۱۵

فصل پنجم :

۴۶	تنش σ_x در لایه اول و در سطح مقطع 90° درجه نسبت به محور X	۵ - ۱
۴۶	تنش σ_y در لایه اول و در سطح مقطع صفر درجه نسبت به محور X	۵ - ۲
۴۶	تنش σ_z در لایه دوم و در سطح مقطع 45° درجه نسبت به محور X	۵ - ۳
۴۶	تنش σ_{yz} در لایه دوم و در سطح مقطع 45° درجه نسبت به محور X	۵ - ۴
۴۶	تنش σ_{xz} در لایه سوم و در سطح مقطعی با زاویه 45° درجه نسبت به محور X	۵ - ۵
۴۶	تنش σ_{xy} در لایه سوم و در سطح مقطعی با زاویه 45° درجه نسبت به محور X	۵ - ۶
۴۷	تنش σ_{yz} در لایه چهارم و در سطح مقطعی با زاویه صفر درجه نسبت به محور X	۵ - ۷
۴۷	تنش σ_{xz} در لایه چهارم و در سطح مقطعی با زاویه 90° درجه نسبت به محور X	۵ - ۸
۴۷	تنش σ_{xy} در لایه اول و در سطح مقطعی با زاویه 45° درجه نسبت به محور X	۵ - ۹
۴۷	تنش σ_{yz} در لایه دوم و در سطح مقطعی با زاویه 90° درجه نسبت به محور X	۵ - ۱۰
۴۷	تنش σ_{xz} در لایه سوم و در سطح مقطعی با زاویه 90° درجه نسبت به محور X	۵ - ۱۱
۴۷	تنش σ_{xy} در لایه چهارم و در سطح مقطعی با زاویه 45° درجه نسبت به محور X	۵ - ۱۲
۴۹ ..	تحریب تحلیل گذرا در سطح مشترک لایه اول و دوم، دوم و سوم، سوم و چهارم ..	۵ - ۱۳

فهرست تصاویر

صفحه	عنوان	شکل
۵۰	نمای از بالای شکل تخریب همه لایه ها در تحلیل گذرا	۵-۱۴
۵۰	شکل تخریب تحلیل استاتیکی در سطح مشترک لایه اول و دوم	۵-۱۵
۵۱	شکل تخریب تحلیل استاتیکی در سطح مشترک لایه دوم و سوم	۵-۱۶
۵۱	شکل تخریب تحلیل استاتیکی در سطح مشترک لایه سوم و چهارم	۵-۱۷
۵۴	تشن σ_5 در لایه اول و زاویه صفر درجه نسبت به محور X	۵-۱۸
۵۴	تشن σ_5 در لایه اول و زاویه صفر درجه نسبت به محور X	۵-۱۹
۵۴	تشن σ_5 در لایه دوم و زاویه ۴۵ درجه نسبت به محور X	۵-۲۰
۵۵	تشن σ_5 در لایه دوم و زاویه ۴۵ درجه نسبت به محور X	۵-۲۱
۵۵	تشن σ_5 در لایه سوم و زاویه ۴۵ درجه نسبت به محور X	۵-۲۲
۵۵	تشن σ_5 در لایه سوم و زاویه ۴۵ درجه نسبت به محور X	۵-۲۳
۵۶	تشن σ_5 در لایه چهارم و زاویه صفر درجه نسبت به محور X	۵-۲۴
۵۶	تشن σ_5 در لایه چهارم و زاویه ۹۰ درجه نسبت به محور X	۵-۲۵

فصل ششم :

۶۰	نمایی از دستگاه ضربه	۶-۱
۶۲	جدایش بین الیاف و ماتریس، بیرون زدگی الیاف، گسیختگی الیاف	۶-۲
۶۲	ترکهای ماتریسی در سطح ضربه خورده	۶-۳
۶۳	تأثیر ترکهای ماتریسی در شروع تخریب تورق	۶-۴
۶۴	تخریب در سطح زیرین نقطه ضربه خورده نمونه A100-3	۶-۵
۶۴	تخریب در سطح زیرین نقطه ضربه خورده نمونه B100-3	۶-۶
۶۴	تخریب در سطح زیرین نقطه ضربه خورده نمونه C100-3	۶-۷
۶۵	نمودار سطح تخریب - انرژی ضربه برای نمونه های سری A، B، C	۶-۸
۶۶	ترکهای ماتریسی برشی (45°)	۶-۹

فهرست تصاویر

صفحه	عنوان	شکل
۶۶	ترکیای ماتریسی خمی	۶-۱۰
۶۷	تأثیر ترک در توزیع تنش در یک المان کامپوزیتی	۶-۱۱
۶۹	تخرب در چهار نقطه مختلف از ریب	۶-۱۲
۷۱	اثر تخریب بر کاهش استحکام فشاری	۶-۱۳
۷۳	نمایی کلی از قید آزمایش استحکام باقیمانده فشاری	۶-۱۴
۷۳	نمایی از طرز قرار گرفتن نمونه و تبیا در قید	۶-۱۵
۷۶	استحکام باقیمانده فشاری A 25	۶-۱۶
۷۶	استحکام باقیمانده فشاری A 50	۶-۱۷
۷۶	استحکام باقیمانده فشاری A 75	۶-۱۸
۷۶	استحکام باقیمانده فشاری A 100	۶-۱۹
۷۷	استحکام فشاری نمونه ضربه نخورده AV	۶-۲۰
۷۸	استحکام باقیمانده فشاری B 50	۶-۲۱
۷۸	استحکام باقیمانده فشاری B 75	۶-۲۲
۷۹	استحکام باقیمانده فشاری B 100	۶-۲۳
۷۹	استحکام فشاری نمونه ضربه نخورده BV	۶-۲۴
۸۰	استحکام باقیمانده فشاری C 75	۶-۲۵
۸۰	استحکام باقیمانده فشاری C 100	۶-۲۶
۸۰	استحکام باقیمانده فشاری C V	۶-۲۷
۸۲	استحکام باقیمانده فشاری B 90	۶-۲۸
۸۲	استحکام باقیمانده فشاری C 90	۶-۲۹
۸۲	کاهش استحکام فشاری در نمونه های سری C، B، A و	۶-۳۰
۸۳	نمودار بارفشاری - خیز در نمونه A25-1	۶-۳۱
۸۴	نمودار بارفشاری - خیز در نمونه A25-3	۶-۳۲
۸۴	تخرب ناشی از بارگذاری فشاری در نمونه های ضربه نخورده	۶-۳۳
۸۷	سطح تخریب تورق در سطح مشترک لایه اول و دوم	۶-۳۴

فهرست تصاویر

صفحه	عنوان	شکل
۸۷	سطح تخریب تورق در سطح مشترک لایه دوم و سوم	۶-۳۵
۸۷	سطح تخریب تورق در سطح مشترک لایه سوم و چهارم	۶-۳۶
۸۹	گسترش سطح تخریب در بارگذاری ۱۸ (KN)	۶-۳۷
۸۹	گسترش سطح تخریب در بارگذاری ۲۲.۵ (KN)	۶-۳۸
۹۰	گسترش سطح تخریب در بارگذاری ۲۷ (KN)	۶-۳۹
۹۰	نیاپش نقطه مبدأ (0,0) در صفحه تحت بارگذاری فشاری	۶-۴۰

فصل هفتم:

۹۱	پاسخ خیز نسبت به زمان	۷-۱
۹۲	پاسخ سرعت پرتابه نسبت به زمان	۷-۲